

Pb₂C₂O₄(NO₃)₂·2H₂O의 제조 및 특성평가

최희락*

(97년 1월 25일 접수)

Preparation and Characterization of Pb₂C₂O₄(NO₃)₂·2H₂O

Hee-Lack Choi*

Key Words : Ceramic Powder(세라믹분말), Lead Oxalate(수산납), monoclinic(단사정)

Abstract

On the precipitation and ripening reaction of the precipitates from a lead nitrate and an oxalic acid dissolved in ethanol, a new crystalline phase was obtained, whose X-ray diffraction data have not previously been reported. The crystal system was determined to be monoclinic. The unit-cell parameters were refined to $a = 10.613(2)\text{Å}$, $b = 7.947(2)\text{Å}$, $c = 6.189(1)\text{Å}$, and $\beta = 104.48(2)^\circ$.

1. 서 론

PbTiO₃, PbZrO₃, PLZT, PLT 등은 Pb를 포함한 대표적인 강유전체로 알려져 있고, 여러 가지 분야에 응용이 기대되어지고 있다. 납을 포함한 복합 페로브스카이트(perovskite) 산화물은 비교적 저온에서 소결이 가능하여 제조비용이 절감되고, B site에 여러 가지 이온을 치환시킴에 의해 Curie 점의 shift, 유전체의 온도특성 등을 제어할 수가 있다는 특징을 가지고 있다^{1,2)}. 한편, 이들 산화물은 납성분이 고온에서 증기압이 높기 때문에 Pb성분의 증발에 의한 생성물의 조성변동을 피하기 어렵고^{3,4)}, perovskite 구조의 B site에서의 조성의 균

일성을 얻기가 어렵다. 이러한 점들이 유전체의 물성에 악영향을 끼치고 있다⁵⁾. 이러한 조성변동의 문제점을 해결하기 위한 방편으로 Sol-Gel 법, 共沈法 등의 방법으로 조성의 균일성을 높이려 하고 있다. 共沈法중에서 비교적 금속염의 결정성이 높고 분해온도가 낮기 때문에 蔗酸沈澱法이 자주 사용되어져 오고 있다. 산화물의 최종상태는 출발원료에 의해 그 특성이 좌우되고, 산화물의 조성을 제어하기 위해서는 전구체를 명확하게 이해하는 것이 중요하다. 본 논문에서는 유전체의 대표적 성분인 Pb의 蔗酸沈澱法에의한 沈澱에서 지금까지 알려지지 않은 蔗酸납이 생성되어 그 특성(결정계, 화학식, 가열특성)을 조사했다.

* 부경대학교 재료공학과

2. 실험방법

未知의 結晶相(이하에서는 편의상 X상이라 함)을 해석하기 위해서는 이 결정상의 單一相이 필요하다. 시료의 제작은 0.028mol/l의 蔗酸에탄올 용액에 같은 농도, 같은 부피의 硼酸Pb수용액을 첨가⁶⁾하는 방법을 이용했다. Pb의 蔗酸塩이 에탄올에 녹지 않는 것과 침전제인 蔗酸이 에탄올에 잘 용해되는 점(용해도:24g/100gEtOH)⁷⁾을 이용하여 蔗酸塩의 沈澱생성에는 蔗酸에탄올 용액을 이용했다. 침전반응의 결과 침전물은 PbC₂O₄와 X상의 혼합물이 생성된다. 이 혼합상은 침전반응의 조건과 숙성반응조건에 의해 혼합물의 양비가 변화한다. 혼합침전물에서 X상이 생성하기 쉬운 조건은, 저온에서 熟成, 암모니아 농도가 낮은 것이다⁸⁾. 이 조건에 의해, 숙성온도 5°C, 암모니아 무첨가, 숙성시간 4주간의 熟成에 의해 X선회절적으로 X상의 단일상을 얻었다. 熟成후 시료를 먼저 원심분리한 다음 물과 에탄올 1:1의 혼합용액으로 3회 세척해서 실온에서 건조하여 백색분말의 X상을 얻었다. 결정분말을 화학분석, X선 분말회절(XRD), 열분석(TG/DTA), FT-IR을 사용하여 그 특성을 측정했다.

3. 결과 및 고찰

3-1. X선에의한 해석

XRD 측정에는 philips社의 PW1700回折計를 사용했다. Table 1에 측정조건과 측정방법을 나타냈다. 指數의 최적화는 program ITO (Visser,1969)⁹⁾을 사용하고, 最小自乘法에 의한 格子定數의 最適化는 program RLC 3 (Sakurai,1967)¹⁰⁾를 사용하였다. 이 측정에 대하여 P.M.de Wolff¹¹⁾는 示性數 (figure of merit)M20을 제안하여 그 값이 60이하면 同定결과의 신뢰성이 약하고 20~60이면 신뢰성이 높은 결과가 얻어진다고 보고하고 있으며, 본 회절 측정의 결과 M20은 34.5을 나타내서 신뢰성이 아주 높은 결과가 얻어졌다. Table 2에 X상의 XRD peak의 2θ값과 강도비를 나타냈다. 전체의 peak는 單斜晶에 归屬되어 단일상인 것을 알 수가 있

다. 消滅則으로부터 가능성 있는 空間群은 P112,

Table 1 Experimental conditions

Radiation type, source, power	X-ray, Cu, 40kV and 30mA						
Wavelength	1.5406(Kα)						
Discriminator	monochromator						
Detector	scintillation counter						
Instrument description	17cm radius, vertical diffractometer Philips PW 1050/25						
Divergence angle	1°						
Receiving-slit width	0.2mm						
Temperature	room temperature						
External 2θ standard	Si ($a_0 = 5.43075\text{\AA}$)						
Range of 2θ	from 4 to 70						
Scan technique	step-scanning, step size = 0.01						
Specimen preparation	packed						

Table 2 X-ray Diffraction Data of X-phase

h k l	2θ _{obs}	l l 0	d _{h k l}	d _{h k l}	Δ2θ	h k l	2θ _{obs}	l l 0	d _{h k l}	d _{h k l}	Δ2θ
1 0 0	8.56	24	10.321	10.276	-0.040	2 3 -1	39.49	1	2.380	2.382	-0.002
1 1 0	14.09	2	6.283	6.285	-0.005	2 1 2	40.04	1	2.250	2.250	-0.005
2 0 0	17.26	100	5.133	5.138	-0.023	1 2 2	40.36	1	2.233	2.234	-0.008
0 1 1	18.55	4	4.781	4.785	-0.015	3 2 1					
2 1 0	20.57	4	4.314	4.315	-0.003	4 2 1	41.36	2	2.181	2.181	-0.003
1 1 1	22.03	1	4.037	4.040	-0.018	4 2 0	41.81	1	2.159	2.157	-0.035
0 2 0	22.39	1	3.988	3.973	-0.010	5 0 1	42.78	1	2.112	2.113	-0.023
2 1 1	22.70	5	3.914	3.913	-0.010	2 3 1					
1 2 0	23.89	1	3.707	3.705	-0.005	3 3 0	43.15	1	2.035	2.035	-0.014
3 0 0	25.01	36	3.423	3.425	-0.020	4 1 1					
1 2 1	27.08	2	3.290	3.287	-0.023	5 0 0	44.02	36	2.056	2.055	-0.010
2 1 1	27.90	7	3.195	3.198	-0.023	2 0 3	44.32	15	2.042	2.042	-0.005
3 1 0	28.34	2	3.146	3.145	-0.005	3 0 2	44.87	3	2.018	2.019	-0.010
3 1 -1	28.35	6	3.022	3.033	-0.008	2 1 3	45.82	1	1.979	1.978	-0.019
1 0 2			3.022	-0.003		3 1 2	46.37	1	1.957	1.957	-0.006
1 2 1	29.43	1	3.02	3.02	-0.005	4 2 2					
0 0 2	29.89	1	2.98	2.98	-0.005	5 0 2	46.88	2	1.936	1.936	-0.012
2 0 2	30.52	1	2.95	2.95	-0.005	4 2 1	47.67	2	1.936	1.936	-0.001
1 1 2	31.01	1	2.88	2.88	-0.000	1 3 2	48.06	1	1.882	1.881	-0.016
0 1 2	31.91	1	2.83	2.84	-0.015	5 1 2	48.37	1	1.880	1.881	-0.006
1 0 2	33.14	1	2.70	2.70	-0.003	3 3 2	49.02	1	1.857	1.856	-0.027
2 2 1	34.15	1	2.63	2.63	-0.000	4 3 0	49.37	2	1.844	1.844	-0.016
3 2 0	34.53	2	2.56	2.56	-0.013	1 4 1	49.81	2	1.829	1.829	-0.008
4 0 0	34.97	8	2.54	2.59	-0.003	5 2 0	49.90	3	1.826	1.825	-0.021
3 2 1			2.55	-0.008		3 2 2	50.69	1	1.799	1.800	-0.014
3 1 1	35.10	8	2.54	2.54	-0.005	5 1 1	51.75	6	1.756	1.755	-0.009
4 1 1	36.20	3	2.49	2.49	-0.010	3 2 3	52.17	1	1.752	1.751	-0.025
4 1 0	36.73	2	2.45	2.45	-0.010	5 2 2	52.55	1	1.740	1.740	-0.006
0 3 1	37.05	1	2.42	2.42	-0.009	2 4 1	53.09	1	1.728	1.727	-0.027
0 2 2	37.55	1	2.39	2.39	-0.023	4 3 2	54.43	2	1.714	1.714	-0.012
2 2 2	38.15	2	2.37	2.37	-0.013	6 0 0					
1 3 1	39.03	1	2.36	2.37	-0.010						

P121, P11m, P1m1, P112/m, P12/m1을 생각할 수가 있고, 格子定數는 $a=10.613(2)\text{ \AA}$, $b=7.947(2)\text{ \AA}$, $c=6.189(1)\text{ \AA}$, 面角 $\alpha=\gamma=90^\circ$, $\beta=104.48(2)^\circ$ 로 계산되었다. Table 3에 측정한 X상의 결정학적 data를 나타내었다.

Table 3 Crystal data for X-phase

$$a = 1.0613(2)\text{nm}$$

$$b = 0.7947(2)\text{nm}$$

$$c = 0.6189j(1)\text{nm}$$

$$\beta = 104.48(2)^\circ$$

$$\alpha = \gamma = 90^\circ$$

Crystal System = monoclinic

3-2. 화학분석

Table 4에 X상의 화학분석 결과를 나타내었다. 각 성분의 분석 방법은 다음과 같다.

Table 4 Chemical analysis of X-phase

105°C H ₂ O	800°C(-) H ₂ O	C ₂ O ₄ ²⁻	Pb	NO ³⁻
< 0.1%	6%	13.3%	62.2%	18.3%

105°C(-)수분…중량분석법

105°C(+)수분(결정수)…칼-피셔법

C₂O₄²⁻…파망간산 칼륨 적정법 및 연소-적외선 흡수법

NO₃⁻…이온 교환 크로마피그라프

Pb…황산납 중량분석법

이상의 화학분석의 결과로부터 X상은 Pb, 蔗酸基, 窒酸基와 수분에 의해 구성되어진 화합물이라는 것을 알 수가 있다

3-3. 열분석 및 가열변화

Figure 1에 X상의 열분석 결과를 나타낸다. X상의 TG 곡선상에는 125°C ~ 175°C까지의 중량감소와, 300°C부근의 분해에 의한 중량감소를 나타내었다. X상의 가열중의 결정상의 변화를 관찰하기 위하여 TG곡선상의 각각의 중량감소를 나타내는

온도영역에서 급냉한 시료의 분말X선회절 pattern을 관찰하였다. Figure 2에서 240°C에서는 Pb(NO₃)₂과 비정질, 420°C에서는 Pb(NO₃)₂ · 5PbO¹²⁾가 생성했다. 이 결과로부터 X상은 가열에 의해 150°C에서 중량감소와 함께 X상의 결정구조가 파괴되어 Pb(NO₃)₂과 비정질로 되고 300°C 이상에서는 비정질로 존재하던 상이 분해하여 생긴 PbO와 窒酸납이 반응하여 Pb(NO₃)₂ · 5PbO가 생성된 것으로 생각할 수 있다. Figure 3에 전자현미경관찰에 의한 X상 조직사진을 나타내었다. X상은 판상의 형상을 하고 있는 것을 알 수 있다. Table 2의 분말 X선회절의 결과 (h00)면의 반사가 강하게 나타나고 있는 것으로부터 X상은 a축 방향으로 배향하기 쉬운 특성을 가지고 있고, 판상의 면은 bc면으로 생각된다. Figure 4에 X상의 실온, 240°C, 420°C의 각 온도영역에서 가열후 급냉한 시료의 FT-IR의 결과를 나타냈다. 실온시료의 3600~3200cm⁻¹의 peak는 물에 의한 흡수 peak, 1670~1640cm⁻¹의 흡수는 C₂O₄²⁻에 의한 것이다¹³⁾. C₂O₄²⁻에의한 흡수 peak는 온도가 높아짐에 따라 약하게 되어 410°C에서는 사라지는 것으로부터 蔗酸基는 240°C와 410°C 사이에서 분해하는 것을 알 수 있다. 1410°C ~ 1340cm⁻¹에서의 강한 peak와 860~800cm⁻¹에서의 약한 peak는 NO₃⁻¹에 의한 것이고, 이 peak가 410°C 까지 존재하고 있는 것으로부터 窒酸基는 분해하지 않고 남아 있는 것을 알 수가 있다.

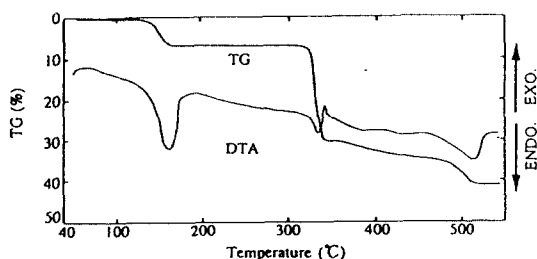


Fig. 1 TG/DTA curves of X-phase

이미 그 특성을 알고있는 無水 PbC₂O₄와 X상이 대부분인 혼합상의 가열특성을 비교해 보았다. 그림은 X상과 無水 PbC₂O₄를 분해반응이 전부 완료

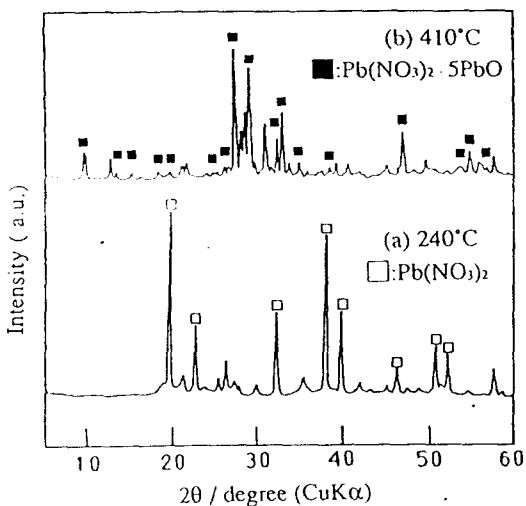


Fig. 2 X-ray diffraction patterns of X-phase quenched from various temperatures : (a) 240°C (b) 410°C

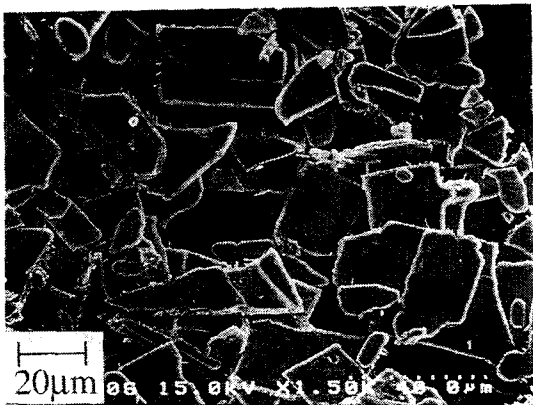


Fig. 3 Scanning electron micrograph of X-phase

되었다고 생각되는 온도인 550°C에서의 금냉시료의 분말X선 회절 측정결과이다. 300°C에서의 분해가 완료하는 無水Pb₂O₄의 시료에서는 PbO의 저온형인 Litharge가 우선적으로 생성하고 있으나, X상을 550°C에서 가열한 시료는 PbO의 고온형인 Massicot가 대부분을 차지하고 있다. Pb₂O₄는 저온인 370°C에서 분해하여 Litharge가 생성하였으나, X상은 300°C부근의 분해반응 후 생성한

Pb(NO₃)₂·5PbO가 고온까지 분해하지 않고 고온형의 Massicot가 생성된 것이라고 생각할수가 있다.

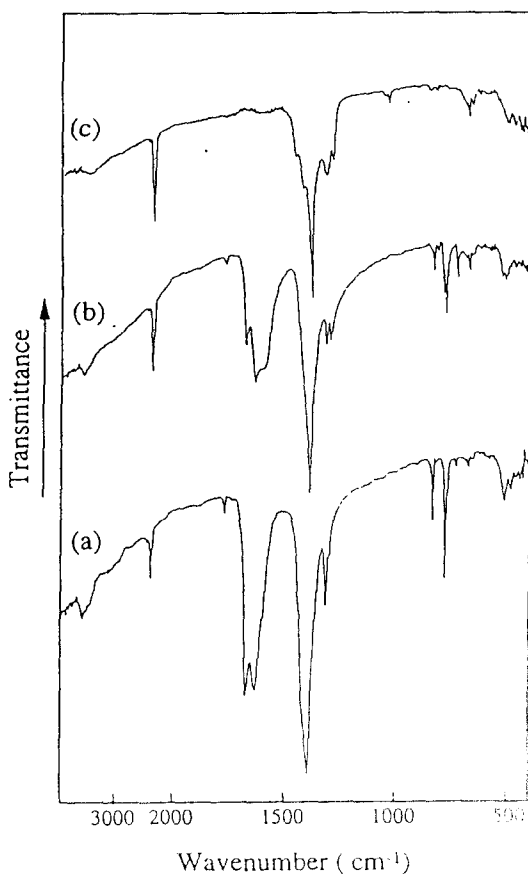


Fig. 4 The FT-IR spectra of X-phase quenched at various temperatures : (a) 240°C (b) 410°C

3-4. 화학식의 결정

Table 3의 화학분석 결과와 열분석, 적외선 분광분석, 흡수성의 실험 결과에서 X상의 화학식을 추정했다. 화학분석의 결과에서 Pb, C₂O₄²⁻, NO₃ 그리고 H₂O의 mole比는 2 : 1 : 1.97 : 2.20이고, 또한 탈수에 의한 X상의 구조가 파괴되는 것에 의해 함유수분은 결정수일 것으로 판단했다.

이상의 결과에서 추정되는 화학식은 Pb₂C₂O₄(NO₃)₂·2H₂O로 생각된다.

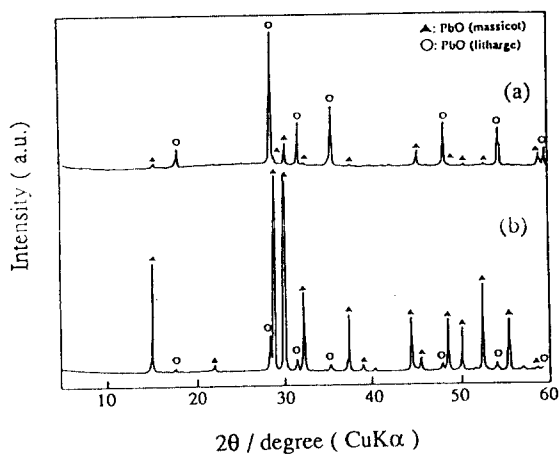


Fig. 5 X-ray diffraction patterns of the precipitates at 550°C (a)PbC₂O₄ : (▲)PbO (massicot) and (○)PbO(litharge) (b)95%X-phase + 5%PbC₂O₄

3-5. X상의 흡수성

X상은 결정수를 포함하고 있어, 그 특성 평가의 하나로서 가열시료의 흡수성을 조사하는 실험을 했다. X상을 240°C까지 가열하여, 1시간 유지하여 실온까지 냉각하여 습도 90%, 29°C의 분위기에서 111과 311 방치했다. 일어진 시료의 X선회절 pattern 을 Fig.6에 나타냈다.

X상은 가열하면 220°C에서는 수분이 빠져나가 비정질과 질산납의 혼합물로 변화한다. (Fig.6-a)

그러나 흡수실험 하루 경과후, 수분의 흡수에 의해 일부의 X상이 생성되 (Fig.6-b), 장시간 방치하면 X상의 생성량은 많아진다. (Fig.6-c), 이 변화는 240°C가열 시료의 질산납과 비정질에서 수분의 흡수에 의해 X상으로 다시 결정화 하는 것으로 생각할 수가 있다. 따라서 TG에서의 180°C까지의 중량감소는 수분에 의한 것이라 할 수 있다.

4. 결론

窒酸납 용액과 蔗酸에탄을 용액의 침전물을 저온(5°C), 낮은 PH(1.3), 장시간(4주간)의 조건에서 熟成하여 새로운 화합물의 단일상을 얻었다.

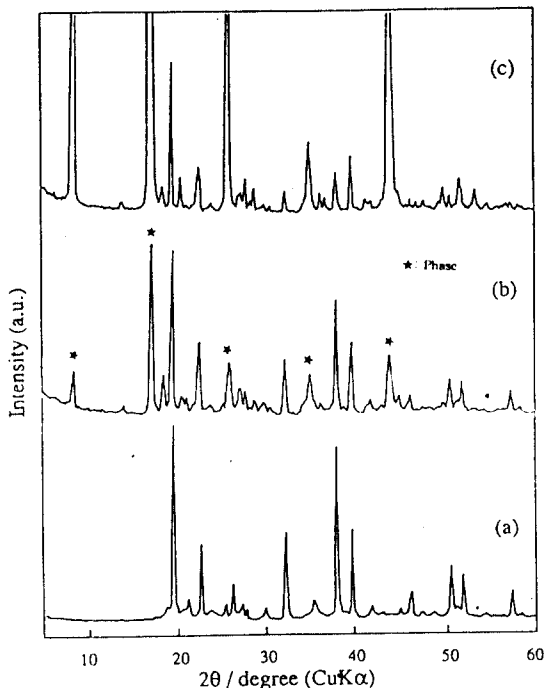


Fig. 6 X-ray diffraction patterns of X-phase at 240°C : (a)quenched (b)1day, 90%humidity, 29°C (c)3days, 90%humidity, 29°C

X상의 화학식은 Pb₂C₂O₄(NO₃)₂·2H₂O이고, 결정계는 單斜晶이다. 格子定數는 $a=10.613(2)\text{ \AA}$, $b=7.947(2)\text{ \AA}$, $c=6.189(1)\text{ \AA}$, 面角은 $\alpha = \gamma = 90^\circ$, $\beta = 104.48(2)^\circ$ 이다. 空間群은 P112, P121, P11m, P1m1, P112/m, P12/m이 가능성이 있다.

이 결정은 板狀結晶이고, a 축방향으로 배향하는 특성을 가지고 있다. 또 가열과정에서 175°C에서는 蔗酸납과 비정질 혼합상, 325°C에서는 Pb(NO₃)₂·5PbO로 된다. 520°C로 가열하면 PbO의 고온상인 massicot로 변화했다.

참고문헌

- 1) Tanaka,S., Matsushita,Y., Maeda,K., J.J. Ceram.Soc.99, pp.158-162, 1991
- 2) 原田光雄, 電子情報通信學會誌, 70, pp.109-112, 1987

- 3) Kakekawa,I., 日本化學會誌, 31, pp.413-416, 1975
- 4) Mcnamara,V.M., J.Canadian Ceram. Soc., 34, pp.103-120, 1965
- 5) Sawaguchi,E., J.Phys. Soc.Jap., 8, pp.645, 1965
- 6) 山村博, 倉本成史, 白崎信一, J.Ceram.Soc.Jpn., 94, pp.545-549, 1986
- 7) Lange's Handbook of Chemistry, John, A.D., 13th McGraw-Hill Book, 1985
- 8) 崔僖洛, 中川善兵衛, 第31回日本Ceramic基礎討論會豫告集2B11L, pp.121
- 9) Visser,J.W., J.App.Crystallogr.2, pp.89, 1969
- 10) Sakurai,T., "Universal Program for Crystallographic Computation" Cryst.Soc.Jpn., 1967
- 11) de Wolff,P.M., J.App.Crystallogr.1, pp.108, 1968
- 12) Joint Committee on Powder Diffraction Standard 23-1159
- 13) Bellamy,L.J., The Infrared spectra of complex molecules, Chapman and Hall London, 1980